

## Proposta de projeto

Bruno Peixoto 7206666 bruno.peixoto@usp.br

12 de novembro de 2018

O modelo pendular emerge na natureza em diversas aplicações, entre outros, guindastes e sistemas de orientação de foguetes. Além disso, ele é amplamente utilizado na literatura por consistir em um sistema não-linear e apresentar conceitos fundamentais da teoria de controle.

A planta consiste em um sistema pendular sub-atuado bidimensional composto por um carro  $\mathcal{B}_0$  de massa  $m_0$  associado a um sistema de elos  $\mathcal{B}_1$  e  $\mathcal{B}_2$  com massas  $m_1$  e  $m_2$  respectivamente referentes ao sistema de coordenadas afixado aos centros de massa, solidários aos elos. Os elos  $\mathcal{B}_1$  e  $\mathcal{B}_2$  consistem respectivamente em uma barra retangular homogênea de comprimento  $\ell_1$ , largura  $w_1$  e espessura desprezível e uma barra cilíndrica homogênea de comprimento  $\ell_2$  e raio  $r_2$  (Tabela 1).

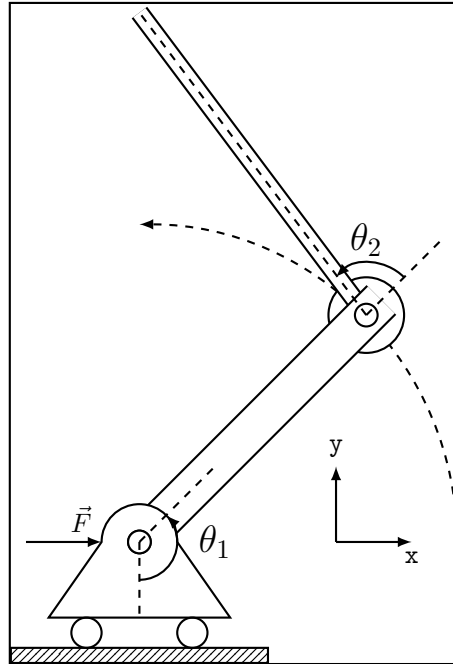


Figura 1: Desenho esquemático do modelo

Considere que o sistema apresenta excitação externa respectiva a uma força  $\mathbf{F} = [F, 0, 0]^T$  aplicada ao corpo  $\mathcal{B}_0$  (Figura 1) por meio de uma polia de diâmetro  $D$  de inércia desprezível ligada a um motor distante de correia estirada inex-

tensível e um momento gerado por um motor balanceado  $\mathbf{M} = [0, 0, \tau]^T$  aplicado ao primeiro elo na junta que conecta  $\mathcal{B}_1$  e  $\mathcal{B}_2$ . A correia de acionamento envolve a polia em um ângulo  $\beta$  e possui coeficiente de atrito seco  $\mu$ . Para este projeto, não é necessário a modelagem do acionamento: a propulsão é realizada pelo cabo e o sensoramento é fornecido por  $\mathbf{x}$ . O vínculo do carro permite deslocamento seja apenas horizontal.

Descrição	Unidade	Valor
$m_0$	g	440
$m_1$	g	153
$m_e$	g	8
$m_2$	g	7
$b_0$	Ns/m	1.950
$b_1$	Ns/rad	0.010
$b_2$	Ns/rad	0.010
$\ell_1$	mm	180
$w_1$	mm	40
$e_1$	mm	40
$\ell_2$	mm	215
$r_2$	mm	8

Tabela 1: Dados da planta

Descrição	Unidade	Valor
$m$	bits	10
$n$	-	5
$f_s$	Hz	100
$\mathbf{t}_s$	s	$3.1^a$
$\mathbf{R}_w$	-	$0.02 \mathbf{1}^b$
$\mathbf{R}_v$	-	$0.02 \mathbf{1}$
$\sigma_u$	N	500
$t_\delta$	s	10

Tabela 2: Dados do microcontrolador e sensores

<sup>a</sup> $\mathbf{1}$  consiste em uma matriz-coluna composta por 1's com dimensão adequada.

<sup>b</sup> $[\mathbf{1}]$  corresponde à matriz identidade

Sejam os estados do sistema apresentado na figura 1  $\mathbf{x} = [x, \theta_1, \theta_2, \dot{x}, \dot{\theta}_1, \dot{\theta}_2]^T$ , uma das posições de repouso (instável) definida por  $\mathbf{x}_0 = [0, \pi, 0, 0, 0, 0]^T$  e região de convergência  $\chi$  suficientemente próxima a  $\mathbf{x}_0$  a fim de garantir linear do modelo [Ada09], a proposta consiste no projeto de um controlador LQG com frequência de amostragem  $f_s$ . O sistema controlado deve apresentar tempo de assentamento menor que  $\mathbf{t}_s^{1\%}$  para cada um dos estados do sistema e desvio-padrão para a força aplicada igual a  $\sigma_u$ .

Os sensores disponíveis são um encoder rotativo para o motor de acionamento e um encoder rotativo para  $\theta_1$  acoplado à junta, considerado uma massa pontual  $m_e$ . As leituras dos sensores são decorrelacionadas e apresentam densidade espectral  $\mathbf{R}_v$ . A posição angulares  $\theta_1$  e  $\theta_2$  apresentam ruído branco e a densidade espectral de potência iguais a  $\mathbf{R}_w$  [Ang18]. O microcontrolador escolhido apresenta, em média, atraso de cálculo de  $n$  períodos de amostragem,  $n \in \mathbb{N}$ , a depender do *hardware*, e resolução de quantização de  $m$  bits (Tabela 2).

Considere ademais que o sistema seja submetido a um impulso  $I = k\delta(t)$  [Bee03], com  $\delta(t)$  a função delta de Dirac, no instante  $t_\delta$  na extremidade da segunda barra após sua estabilização. Propõe-se a determinação empírica de  $k$  tal que o sistema não saia da região de estabilização.

## Apêndice

A equação do pêndulo apresenta a forma  $\mathbf{M}(\mathbf{q})\ddot{\mathbf{q}} + \nu(\mathbf{q}, \dot{\mathbf{q}}) + \mathbf{f}(\mathbf{q}, \dot{\mathbf{q}}) + \mathbf{g}(\mathbf{q}) = \mathbf{U}\mathbf{u}$  tal que  $\mathbf{q} = [x, \theta_1, \theta_2]^T$  e as matrizes  $\mathbf{M}(\mathbf{q})$ ,  $\nu(\mathbf{q}, \dot{\mathbf{q}})$ ,  $\mathbf{f}(\mathbf{q}, \dot{\mathbf{q}})$  e  $\mathbf{g}(\mathbf{q})$  respectivamente a matriz de massa acoplada, termos giroscópicos, atrito do sistema e termos gravitacionais.

A matriz  $\mathbf{U}$  advém do princípio dos trabalhos virtuais [Bee03] e satisfaz a relação  $\mathbf{F}_q \delta \mathbf{q} + \mathbf{F}_x \delta \mathbf{x} = \delta \mathbf{W} \stackrel{def}{=} 0$ , para  $\mathbf{q}$  os estados do sistema e  $\mathbf{x}$  os deslocamentos infinitesimais das excitações externas aplicadas.

A representação em espaço de estados  $\dot{\mathbf{x}} = \mathbf{f}(\mathbf{x}, \mathbf{u})$  é dada por

$$\begin{aligned} \dot{\mathbf{x}} = \frac{d}{dt} \begin{bmatrix} \mathbf{q} \\ \dot{\mathbf{q}} \end{bmatrix} &= \underbrace{\begin{bmatrix} \dot{\mathbf{q}} \\ -\mathbf{M}^{-1}(\mathbf{q}, \dot{\mathbf{q}})(\nu(\mathbf{q}, \dot{\mathbf{q}}) + \mathbf{f}(\mathbf{q}, \dot{\mathbf{q}}) + \mathbf{g}(\mathbf{q})) \end{bmatrix}}_{\mathbf{a}(\mathbf{x})} + \underbrace{\begin{bmatrix} 0 \\ \mathbf{M}^{-1}(\mathbf{q}, \dot{\mathbf{q}})\mathbf{U} \end{bmatrix}}_{\mathbf{b}(\mathbf{x})} \mathbf{u} \\ &= \mathbf{a}(\mathbf{x}) + \mathbf{b}(\mathbf{x})\mathbf{u} \end{aligned} \quad (1)$$

Para um ponto de operação  $\mathbf{x}_0$ , existe  $\mathbf{u}_0$  tal que  $0 = \mathbf{a}(\mathbf{x}_0) + \mathbf{b}(\mathbf{x}_0)\mathbf{u}_0$ , o sistema linearizado é dado por

$$\begin{aligned} \Delta \dot{\mathbf{x}} &= \underbrace{\left( \frac{\partial \mathbf{a}}{\partial \mathbf{x}}(\mathbf{x}_0) + \frac{\partial \mathbf{b}}{\partial \mathbf{x}}(\mathbf{x}_0)\mathbf{u}_0 \right)}_{\mathbf{A}(\mathbf{x}_0)} \Delta \mathbf{x} + \underbrace{\mathbf{b}(\mathbf{x}_0)}_{\mathbf{B}(\mathbf{x}_0)} \Delta \mathbf{u} \\ &= \mathbf{A}(\mathbf{x}_0)\Delta \mathbf{x} + \mathbf{B}(\mathbf{x}_0)\Delta \mathbf{u} \end{aligned} \quad (2)$$

Sendo  $\Delta \mathbf{x} = \mathbf{x} - \mathbf{x}_0$  e  $\Delta \mathbf{u} = \mathbf{u} - \mathbf{u}_0$ . Para o sistema representado na figura 1 seguem as matrizes.

$$\mathbf{M}(\mathbf{q}) = \begin{bmatrix} M_{11} & M_{12} & M_{13} \\ M_{21} & M_{22} & M_{23} \\ M_{31} & M_{32} & M_{33} \end{bmatrix} \quad (3)$$

$$\begin{aligned} M_{11} &= m_0 + m_1 + m_2 \\ M_{33} &= m_2 \ell_2^2 + I_2 \\ M_{22} &= m_2 \ell_1^2 + 2 m_2 \cos(\theta_2) \ell_1 \ell_2^g + m_1 \ell_1^2 + m_2 \ell_2^2 + I_1 + I_2 \\ M_{12} &= M_{21} = m_2 \ell_2^g \cos(\theta_1 + \theta_2) + \ell_1 \cos(\theta_1) + \ell_1^g m_1 \cos(\theta_1) \\ M_{13} &= M_{31} = m_2 \ell_2^g \cos(\theta_1 + \theta_2) \\ M_{23} &= M_{32} = m_2 \ell_2^2 + \ell_1 m_2 \cos(\theta_2) \ell_2^g + I_2 \end{aligned} \quad (4)$$

$$\nu(\dot{\mathbf{q}}, \mathbf{q}) = \begin{bmatrix} \nu_1 \\ \nu_2 \\ \nu_3 \end{bmatrix} \quad (5)$$

$$\begin{aligned}
 \nu_1 &= -\ell_2^g m_2 \sin(\theta_1 + \theta_2) \dot{\theta}_1^2 - \ell_2^g m_2 \sin(\theta_1 + \theta_2) \dot{\theta}_2^2 - \ell_1 m_2 \sin(\theta_1) \dot{\theta}_1^2 - \\
 &\quad \ell_1^g m_1 \sin(\theta_1) \dot{\theta}_1^2 - 2 \ell_2^g m_2 \sin(\theta_1 + \theta_2) \dot{\theta}_1 \dot{\theta}_2 \\
 \nu_2 &= -m_2 \dot{\theta}_2 \left( 2 \dot{\theta}_1 + \dot{\theta}_2 \right) \ell_2^g \ell_1 \sin(\theta_2) \\
 \nu_3 &= m_2 \dot{\theta}_1^2 \ell_2^g \ell_1 \sin(\theta_2)
 \end{aligned} \tag{6}$$

$$\mathbf{f}(\dot{\mathbf{q}}) = \begin{bmatrix} b_0 \dot{x} \\ b_1 \dot{\theta}_1 \\ b_2 \dot{\theta}_2 \end{bmatrix} \tag{7}$$

$$\mathbf{U} = \begin{bmatrix} 1 \\ 0 \\ 0 \end{bmatrix} \tag{8}$$

$$\mathbf{u} = F \tag{9}$$

As matrizes linearizadas do sistema proposto não será representada neste documento por questões de brevidade.

## Referências

- [Ada09] Jürgen Adamy. *Nichtlineare Regelungen*. Springer, 2009. ISBN: 978-3-642-00793-4. DOI: <http://dx.doi.org/10.1007/978-3-642-00794-1>.
- [Ang18] Bruno Augusto Angélico. *Controle Digital de Sistemas Dinâmicos*. Disciplina PTC5611. Out. de 2018.
- [Bee03] Ferdinand P. Beer. *Vector Mechanics for Engineers: Statics and Dynamics*. McGraw-Hill Science/Engineering/Math, 2003. ISBN: 007230491X.